

21. Багаев Г. И., Лебига В. А., Приданов В. Г., Черных В. В. Сверхзвуковая аэродинамическая труба Т-325 с пониженной степенью турбулентности // Аэрофизические исследования. — Новосибирск: ИТПМ СО АН СССР, 1972.
22. Багаев Г. И., Лебига В. А., Харитонов А. М. Излучение звука сверхзвуковым пограничным слоем // Симпозиум по физике акустико-гидродинамических явлений. — М.: Наука, 1975.
23. Григорьев В. Д., Клеменков Г. П., Омелаев А. И., Харитонов А. М. Гиперзвуковая аэродинамическая труба Т-326 // Аэрофизические исследования. — Новосибирск: ИТПМ СО АН СССР, 1972.
24. Гапонов С. А., Лысенко В. И. Развитие возмущений вблизи поверхности, обтекаемой сверхзвуковым потоком // ПМТФ. — 1988. — № 6.
25. Лысенко В. И., Маслов А. А. Переход ламинарного сверхзвукового пограничного слоя в турбулентный при охлаждении поверхности // ПМТФ. — 1981. — № 3.
26. Приданов В. Г., Черных В. В. Экспериментальное исследование влияния притупления передней кромки плоской пластины на переход в пограничном слое // Газодинамика и физическая кинетика. — Новосибирск: ИТПМ СО АН СССР, 1974.
27. Stetson K. F., Rushton G. H. Shock tunnel investigation of boundary layer transition at  $M = 5,5$  // AIAA J. — 1967. — V. 5, N 5.
28. Martellucci A., Maquire V. L., Neff R. S. Analysis of flight test transition and turbulent heating data. Pt 1. Boundary layer transition results: Final Rept. — S. 1., 1972. — (CR/NACA; N 129045).
29. Softley E. J., Graber V. C., Zempel R. E. Experimental observation of transition of the hypersonic boundary layer // AIAA J. — 1969. — V. 7, N 2.
30. Лысенко В. И., Маслов А. А. Влияние охлаждения на устойчивость сверхзвукового пограничного слоя. — Новосибирск, 1981. — (Препр./ИТПМ СО АН СССР; № 31).
31. Lysenko V. I., Maslov A. A. The effect of cooling on supersonic boundary-layer stability // J. Fluid Mech. — 1984. — V. 147, N 10.
32. Косинов А. Д., Маслов А. А., Шевельков С. Г. Экспериментальное исследование влияния притупления передней кромки плоской пластины на развитие трехмерных волн в сверхзвуковом пограничном слое // ПМТФ. — 1987. — № 2.

г. Новосибирск

Поступила 18/V 1989 г.

УДК 532.529.5

В. А. Антипин, А. А. Борисов, А. П. Трунев

## ДИНАМИЧЕСКИЕ ПРОЦЕССЫ В СВОБОДНЫХ ЗАСЫПКАХ В РЕЖИМАХ ФИЛЬТРАЦИИ ГАЗА ПРИ ВНЕЗАПНОМ СБРОСЕ ДАВЛЕНИЯ

Волны разрежения  $\nabla(BP)$  в засыпках исследовались в работах [1, 2], где были установлены некоторые закономерности по влиянию давления в газовой фазе и размеров частиц на скорость и форму  $BP$ . Ниже приведены данные по распространению промодулированных  $BP$  в свободных засыпках различного состава. Обнаружены общие закономерности поведения возмущений в зависимости от начальных параметров сред: в засыпках любого состава с ростом начального давления коэффициент затухания возмущений монотонно возрастает; при увеличении размера зерна и фиксированном давлении коэффициент затухания растет в диапазоне  $7 \div 50$  мкм и убывает в области размеров  $100 \div 1000$  мкм. Развита модель явления, основанная на разложении известных уравнений динамики многофазных сред [3, 4] вблизи равновесного состояния по параметру, равному отношению плотности газа к плотности твердой фазы. В рамках предложенной модели получены зависимости коэффициента затухания от параметров задачи, которые согласуются с экспериментальными результатами.

**1. Экспериментальная методика и результаты.** Эксперименты проводились в вертикальной ударной трубе диаметром 0,06 м и длиной 1,8 м, включающей камеру высокого давления (КВД) и камеру низкого давления (КНД) длиной 0,9 м. Общая схема установки показана на рис. 1: 1 — КНД, 2 — КВД, 3 — измерительные датчики, 4 — запускающий датчик, 5 — вентиль магистрали сжатого воздуха, 6 — манометр, 7 — блок усилителей, 8 — ЭВМ, 9 — уровень засыпки (поршень), 10 — диафрагма. В КВД на расстояниях 0,36; 0,54; 0,72 м от нижнего фланца были установлены пьезоэлектрические датчики давления оригинальной

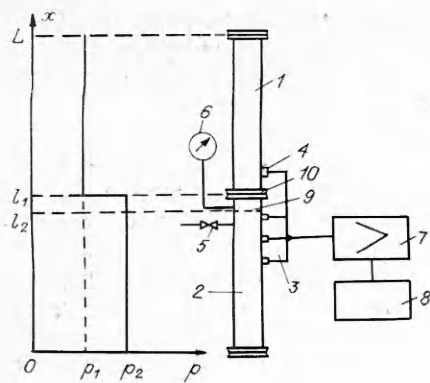


Рис. 1

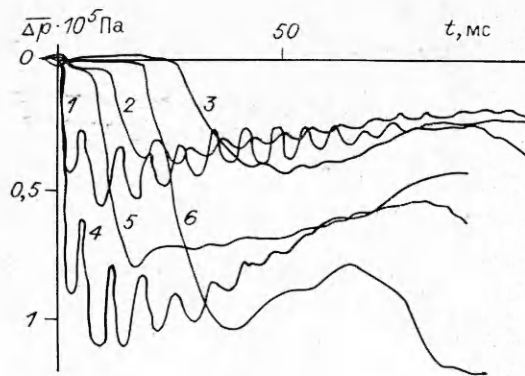


Рис. 2

конструкции (аналог ЛХ601) с полосой пропускания  $1 \div 10^5$  Гц (постоянная времени 0,5 с). Датчики крепились заподлицо со стенкой рабочего канала, сигнал с датчиков поступал на усилитель, а затем через АЦП на микроЭВМ «Электроника-60». По условиям проведения экспериментов между верхним слоем засыпки и мембраной сохранялся воздушный зазор толщиной 0,15 м. В качестве засыпки использовались материалы, приведенные в табл. 1. Давление в КНД равнялось атмосферному, а в КВД изменялось от 0,11 до 0,26 МПа.

Полученные осциллограммы давления в цементе и в  $\gamma$ -окиси алюминия приведены на рис. 2, 3 ( $\overline{\Delta p} = p - p_0$ ,  $p_0$  — начальное давление).

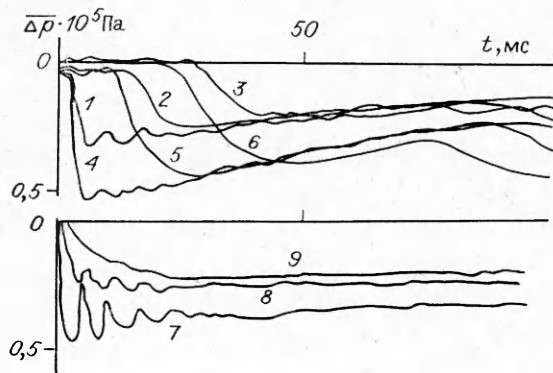
Кривыми 1—3 (4—6) на рис. 2 представлены зависимости давления в цементе при начальном избыточном давлении в КВД  $\overline{\Delta p} = 0,04$  (0,09) МПа на расстояниях  $\Delta x = 0,72$ ; 0,54; 0,36 м от нижнего фланца соответственно. Поясним характер указанных кривых. После разрыва диафрагмы в КНД формируется импульс давления с крутым передним фронтом (ударная волна) и пологим задним. Ввиду значительной плотности двухфазной смеси характерное время проникновения ВР в засыпку значительно превосходит время прохождения ударного импульса по КНД. За счет переотражения ударного импульса от контактной границы газ — двухфазная смесь кривая спада давления возмущается почти по гармоническому закону с периодом  $T_0 = 2L_1/c_s$ ,  $L_1$  — длина КНД,  $c_s$  — скорость ударного импульса (кривые 1, 4 на рис. 2). По мере проникновения в двухфазную смесь фронт волны разрежения выполаживается, и в то же время убывает амплитуда возмущений (кривые 2, 3, 5, 6).

Аналогичная картина наблюдается и при распространении ВР в  $\gamma$ -окиси алюминия ( $d \approx 50$  мкм). Кривые 1—3 (4—6) на рис. 3 получены при  $\overline{\Delta p} = 0,03$  (0,05) МПа, но в этом случае уже при самом низком перепаде давления ( $\sim 0,01$  МПа) возмущения не проникают в засыпку (в цементе возмущения проникают на всю глубину и при  $\overline{\Delta p} = 0,06$  МПа). Установлено, что коэффициент затухания возмущений  $\kappa = \ln |A(x_1)/A(x_2)| / |x_1 - x_2|$  ( $A$  — амплитуда возмущений) монотонно возрастает с ростом

Таблица 1

Материал	$\rho$ , кг/м <sup>3</sup>	$\varepsilon$	$d$ , мкм	$c_s$ , м/с	$D_0$ , м <sup>2</sup> /с
Окись алюминия:					
мелкая	1188	0,7	50	10,97	0,34
крупная *	732	0,65	2500	—	166
Цемент	985	0,56	7	12,1	0,0027

\* Гранулы сферической формы получены методом спекания.



Р и с. 3

давления в засыпках любого состава. Это видно, например, из сравнения данных на рис. 2, 3.

Характерной особенностью волн разрежения в мелкодисперсных засыпках ( $d \leq 10^{-4}$  м) является низкая скорость их распространения. Как показано ниже, в равновесном (по скоростям фаз) случае скорость волн зависит от давления и плотности смеси по формуле

$$(1.1) \quad c_e = \sqrt{p/\epsilon\rho_c},$$

где  $\epsilon$  — порозность. Таким образом, при нормальных условиях в цементе  $c_e = 12,1$  м/с. Выражение (1.1) хорошо согласуется с экспериментальными результатами [2].

На рис. 4 сплошной линией представлена зависимость (1.1), 1, 2 — данные для цемента и  $\gamma$ -окси алюминия ( $d \approx 50$  мкм) соответственно. Результаты [1], полученные в засыпке с диаметром зерна  $\sim 14$  мкм, лежат несколько выше, что, на наш взгляд, объясняется малой длительностью импульса давления ( $\sim 3$  мс), скорость которого могла отличаться от равновесной. С увеличением размера частиц в диапазоне от 7 до 50 мкм  $\kappa$  также возрастает, но эта закономерность неожиданно нарушается при переходе к крупнодисперсным засыпкам. На рис. 3 (кривые 7—9) даны осциллограммы давления при распространении модулированных ВР в засыпке с размером зерна  $d \approx 2500$  мкм ( $\gamma$ -окись алюминия, полученная методом спекания), начальный перепад давлений  $\overline{\Delta p} = 0,04$  МПа. Ниже показано, что процесс разрежения засыпки в этом случае близок к диффузионному, это хорошо видно из сравнения указанных кривых. В масштабе длительности процесса запаздывание сигналов с заглубленных датчиков (8, 9) незначительно по отношению к верхнему датчику (7), возмущения давления почти одновременно проникают на всю глубину засыпки. Сопоставляя данные на рис. 2, 3, видим, что  $\kappa$  в  $\gamma$ -окиси алюминия при  $d \approx 2500$  мкм значительно ниже, чем при  $d \approx 50$  мкм, и сравним по величине с  $\kappa$  в цементе.

**2. Вывод уравнений модели.** При моделировании волн разрежения в засыпках будем исходить из динамических уравнений двухфазной среды [3, 4]. В изотермическом приближении

$$(2.1) \quad \begin{aligned} \rho_1 d_1 \mathbf{u}_1 / dt + \epsilon \nabla p &= \varphi_{12} (\mathbf{u}_2 - \mathbf{u}_1) + \rho_1 \mathbf{g}, \\ \rho_2 d_2 \mathbf{u}_2 / dt + \rho_2 d_1 \mathbf{u}_1 / dt + \nabla p &= (\rho_1 + \rho_2) \mathbf{g}, \\ d_1 \rho_1 / dt &= -\rho_1 \operatorname{div} \mathbf{u}_1, \quad d_2 \rho_2 / dt = -\rho_2 \operatorname{div} \mathbf{u}_2. \end{aligned}$$

Здесь  $\mathbf{u}_{1,2}$ ,  $\rho_{1,2}$  — скорости и плотности газовой и твердой фаз;  $d_1/dt = \partial/\partial t + (\mathbf{u}_1 \cdot \nabla)$ ,  $d_2/dt = \partial/\partial t + (\mathbf{u}_2 \cdot \nabla)$ ;  $\varphi_{12}$  — параметр межфазного силового взаимодействия;  $\mathbf{g}$  — вектор массовых сил.

Система уравнений (2.1) замыкается соотношениями изотермичности течения, сплошности газовой среды и несжимаемости материала частиц

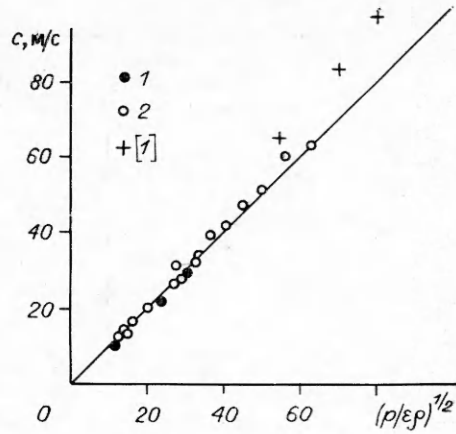
$$(2.2) \quad p = \rho_g RT, \quad T = \text{const}; \quad \rho_1 = \epsilon \rho_g; \quad \rho_2 = (1 - \epsilon) \rho_s, \quad \rho_s = \text{const}$$

( $\rho_g$  — истинная плотность газа,  $\rho_s$  — плотность материала частиц,  $R$  — газовая постоянная).

Рассмотрим случай слабонеравновесной по скоростям фаз концентрированной газозвеси, для которой справедливы оценки

$$(2.3) \quad \rho_2 \gg \rho_1, \quad \left| \frac{d_1 \mathbf{u}_1}{dt} \right| \sim \left| \frac{d_2 \mathbf{u}_2}{dt} \right|.$$

Отметим, что указанные соотношения могут не выполняться вблизи границы раздела газ — засыпка, а также для процессов малой длительности, как в опытах [1]. Далее предположим, что граница раздела представляет собой легкий жесткий поршень малой толщины, а длительности импульса давления достаточно велика. (Часть экспериментов, описанных выше, проводилась специально для выяснения влияния поршня на динамику процесса. Однако не было установлено существенных различий полученных зависимостей давления с результатами на рис. 2, 3.) Применяя оценку порядка величин (2.3) ко второму уравнению системы (2.1), находим



Р и с. 4

$$\frac{d_2 \mathbf{u}_2}{dt} \approx \left| \frac{\nabla p}{\rho_2} \right|.$$

Отсюда и из первого уравнения (2.1) следует, что при условиях (2.3) течение газовой среды с точностью до членов порядка  $\rho_1/\rho_2 \ll 1$  удовлетворяет уравнению фильтрации

$$(2.4) \quad \varepsilon \nabla p = \varphi_{12} (\mathbf{u}_2 - \mathbf{u}_1).$$

Предположим, что коэффициент межфазного взаимодействия при данных параметрах потока не зависит явно от скоростей фаз. Тогда, разрешая уравнение (2.4), запишем  $\mathbf{u}_1 = \mathbf{u}_2 - \varepsilon \nabla p / \varphi_{12}$ . Используя этот результат и замыкающие соотношения (2.2), преобразуем уравнения гетерогенной модели [3]

$$(2.5) \quad \begin{aligned} \rho_2 d\mathbf{u}_2/dt + \nabla p &= \rho_2 \mathbf{g}, \quad \partial \rho_2 / \partial t + (\mathbf{u}_2 \cdot \nabla) \rho_2 = -\rho_2 \operatorname{div} \mathbf{u}_2, \\ \partial \rho_g / \partial t + (\mathbf{u}_2 \cdot \nabla) \rho_g &= -(\rho_g / \varepsilon) \operatorname{div} \mathbf{u}_2 + (1/\varepsilon) \operatorname{div} (\varepsilon D_0 \nabla p) \end{aligned}$$

( $D_0 = \varepsilon p / \varphi_{12}$  — эффективный коэффициент диффузии газовой фазы в гетерогенной среде). Используя гипотезу изотермичности течения, представим последнее уравнение системы (2.5) в виде

$$(2.6) \quad \partial p / \partial t + (\mathbf{u}_2 \cdot \nabla) p = -(p/\varepsilon) \operatorname{div} \mathbf{u}_2 + (1/\varepsilon) \operatorname{div} (\varepsilon D_0 \nabla p).$$

Следовательно, в изотермических засыпках в условиях, близких к равновесным, давление в среде подчиняется закону конвективной диффузии, а средняя скорость газа относительно частиц совпадает со скоростью фильтрации. Выясним величину  $D_0$  и его зависимость от параметров течения. Известные результаты по межфазному трению в зернистых слоях [4], засыпках [5], запыленных потоках [6] и в насыщенных грунтах [7] в линейном по относительной скорости фаз приближении можно представить как

$$(2.7) \quad \varphi_{12} = \mu \varepsilon f(\varepsilon) / d^2$$

( $\mu$  — динамическая вязкость газа,  $f(\varepsilon)$  — некоторая функция). Указанное линейное приближение соответствует закону Дарси фильтрации газа. Коэффициент диффузии в (2.5) с учетом (2.7) имеет вид

$$(2.8) \quad D_0 = p d^2 / \mu f(\varepsilon).$$

Обращает на себя внимание зависимость  $D_0$  от размера частиц и обратная пропорциональность вязкости газа. Зависимости коэффициента межфазного трения (2.7) от порозности среды или от объемного содержания газа сильно различаются между собой по данным различных авторов. Соответствующие выражения вместе с частными значениями с указанием источников сведены в табл. 2, где  $\tau$  — объемное содержание твердой фазы,  $\tau = 1 - \varepsilon$ .

Таблица 2

$f(\epsilon)$	Источ- ник	$\epsilon$					
		0,3	0,4	0,5	0,6	0,7	0,95
		$f(\epsilon)$					
633 $\tau$	[4]	443,1	380	316,5	253,2	190	31,65
150 $\tau^2/\epsilon^2$	[4]	816,7	337,5	150	66,7	27,6	0,42
180 $\tau^2/\epsilon^2$	[7]	980	405	180	80	33,1	0,5
58,7 $\tau/\epsilon^{2,5}$	[5]	833,6	348	166	84,2	43	3,34
24 $\tau/\epsilon^{3,7}$	[6]	1445	427,5	156	63,5	27	1,45

Из табл. 2 для воздуха при нормальных условиях в засыпке со среднеквадратичным размером зерна  $d \approx 5 \cdot 10^{-5}$  м находим  $D_0 \approx \approx 14,7/f(\epsilon)$  м<sup>2</sup>/с. При  $\epsilon = 0,5$  в соответствии с [4]  $D_0 = 0,046$  м<sup>2</sup>/с, а при  $\epsilon = 0,7$  в соответствии с [5]  $D_0 = 0,34$  м<sup>2</sup>/с. Не вдаваясь в подробности при обсуждении приведенных зависимостей, скажем лишь, что данные [4] лучше всего приближают  $f(\epsilon)$  при малых  $\epsilon \leq 0,4$ , а данные [6] — при больших  $\epsilon \geq 0,95$ . Область применимости всех других результатов в табл. 2 занимает промежуточное положение между этими двумя.

Отметим, что постулированное выше свойство изотермичности процесса связано с условиями проведения экспериментов. До начала опыта градиенты температуры по высоте засыпки отсутствовали. В процессе разрежения газ, вообще говоря, охлаждается, но ввиду малости числа Маха потока ( $M_0 \approx c_0/c_s$ ,  $c_s$  — скорость звука в чистом газе) изменение температуры столь мало, что не регистрируется обычной платиновой термпарой. Кроме того, при сравнимых удельных теплоемкостях газ имеет весьма малую плотность в сравнении с дисперсной фазой, которая в этом случае выступает как термостат. Можно показать, что с точностью до членов порядка  $\rho_1/\rho_2$  температуры газа и частиц в данном процессе связаны соотношением

$$T_1 = T_2 + (\varphi_{12}/\Psi_{12})(u_1 - u_2)^2,$$

где  $\Psi_{12}$  — параметр межфазного теплообмена. Используя уравнение (2.4) и оценку для максимального градиента давления в виде  $|\nabla p| \sim p\varphi_{12}/c_e$ , находим оценку относительного изменения температуры газа

$$\delta T/T \simeq R\varphi_{12}\epsilon^4 c_e^2 / \Psi_{12} c_s^2 \ll M_0^2.$$

В цементе и в мелкодисперсной окиси алюминия  $\delta T/T \sim 10^{-3}$ , что сравнимо с погрешностью модели (2.5), имеющей тот же порядок  $\rho_1/\rho_2 \sim 10^{-3}$ .

**3. Равновесная модель.** Рассмотрим предельную форму уравнений модели (2.5) при  $d \rightarrow 0$ . Этот случай отвечает полностью равновесному изотермическому течению смеси. Соответствующие уравнения имеют вид

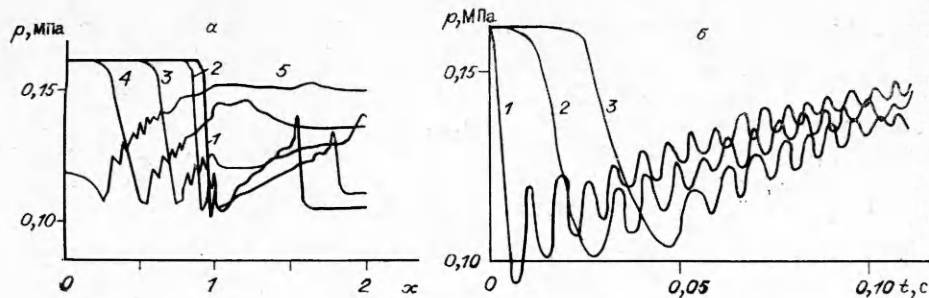
$$(3.1) \quad \rho_2 d_2 \mathbf{u}_2 / dt + \nabla p = \rho_2 \mathbf{g}, \quad d_2 \rho_2 / dt = -\rho_2 \operatorname{div} \mathbf{u}_2, \\ d_2 p / dt = -(p/\epsilon) \operatorname{div} \mathbf{u}_2.$$

Здесь можно приближенно считать  $\epsilon = 1 - \rho_2/\rho_s$ . При баротропных движениях, полагая  $p = f(\rho_2)$ , находим из двух последних уравнений

$$(3.2) \quad dp/d\rho_2 = p/(\epsilon\rho_2),$$

что с точностью до членов порядка  $\rho_1/\rho_2$  совпадает с квадратом равновесной скорости звука (см. табл. 1). Отметим, что для крупнодисперсных засыпок понятие равновесной скорости звука утрачивает всякий смысл, как будет видно из дальнейшего.

В рамках модели (3.1) рассмотрена следующая задача о поршне: в трубе длиной  $L$  и сечением  $S$  объем  $0 \leq x \leq l_1$  занимает смесь с заданными значениями  $\epsilon$ ,  $\rho_2$ , а объем  $l_1 < x \leq L$  — идеальный газ с показателем адиабаты  $\gamma$ ; в сечении  $x = l_1$  находится тонкий поршень массы  $m$ ;



Р и с. 5

в начальный момент времени задан разрыв давления в виде

$$p = \begin{cases} p_2 & \text{при } 0 \leq x \leq l_2, \quad l_1 < l_2 < L, \\ p_1 & \text{при } l_2 < x \leq L, \quad p_1 < p_2. \end{cases}$$

Температура по всей длине трубы при  $t = 0$  постоянна и равна  $T_0$ . Определить состояние системы при  $t > 0$ .

Газодинамическая часть задачи решалась методом Лакса — Вендрофа в рамках модели идеального газа. Параметры смеси рассчитывались по той же схеме по (3.1) применительно к одномерному нестационарному течению. Система координат выбрана, как на рис. 1, где показана эпюра начального давления. На поршне численные решения согласовывались с его динамикой в форме уравнения

$$(3.3) \quad (p_2 - p_1)S = m\ddot{x}_0 \text{ при } x = x_0(t)$$

и замыкались условиями непротекания газа и смеси

$$(3.4) \quad u_1 = u_2 = \dot{x}_0 \text{ при } x = x_0(t), \quad u_1(L, t) = u_2(0, t) = 0,$$

где  $S$ ,  $x_0$  — площадь и координата поршня; индекс 1 относится к газу. Результаты расчетов распада разрыва в газе над слоем цемента представлены на рис. 5, а, где эпюры давления по длине трубы показаны в разные моменты времени. Начальные данные:  $T_0 = 300$  К;  $\varepsilon = 0,56$ ;  $\rho_2 = 1250$  кг/м<sup>3</sup>;  $p_2 = 0,1612$  МПа;  $p_1 = 0,1$  МПа;  $\gamma = 1,4$ . Видно, что импульс давления в газодинамическом отсеке, многократно соударяясь с поршнем (кривые 1—5 приведены на моменты времени  $t = 5,6; 10,1; 23,4; 56,1; 102,6$  мс соответственно), приводит к модуляции волны разрежения — левая часть кривых при  $0 \leq x \leq 1$ . Нормированная координата

$$\bar{x} = \begin{cases} x/x_0 & \text{при } 0 \leq x \leq x_0, \\ (x + L - 2x_0)/(L - x_0) & \text{при } x_0 < x \leq L. \end{cases}$$

Кривые 1—4 на рис. 5, а отвечают первому — четвертому отражениям ударной волны от поршня, кривая 5 — стадии процесса, когда давление в газовом отсеке практически выравнялось, а волна разрежения в засышке отразилась от нижнего фланца трубы. Осциллограммы давления на этот момент времени показаны на рис. 5, б, где кривые 1—3 соответствуют давлению в сечениях на расстоянии  $\Delta x = 0,72; 0,54; 0,36$  м от нижнего фланца. Сравнивая кривые на рис. 2 и 5, б, отметим неплохое согласование по периоду колебаний давления, однако реальный импульс при  $\Delta p = 0,02$  МПа затухает сильнее, нежели расчетный при  $\Delta p = 0,0612$  МПа. С другой стороны, сопоставляя данные на рис. 3 и 5, б, видим, что за вычетом волны модуляции (ВМ) амплитуды расчетной и измеренной ВР коррелируются между собой, но при этих давлениях ВМ вообще не проникает в засышку из  $\gamma$ -окиси алюминия.

В рамках равновесной модели может быть решен вопрос о величине критического перепада давления, при котором начинается сверхзвуковое

истечение смеси. Указанная величина оценивается из решения приведенной выше задачи о поршне, скорость которого  $\dot{x}_0 = 0$  при  $t = 0$  постоянна и равна  $U_0$  при  $t > 0$ . Как видно из дальнейшего, движение смеси в этом случае автомодельное и баротропное. Выбирая систему координат так, что при  $t = 0$  поршень покоится в начале координат, а ось  $x'$  направлена в глубь засыпки, и полагая в (3.1)  $\xi = x'/t$  — автомодельная переменная,  $\rho_2 = \rho_2(\xi)$ ,  $\mathbf{u}_2 = \mathbf{u}_2(\xi)$ ,  $p = p(\xi)$ , находим

$$(3.5) \quad (\mathbf{u}_2 - \xi)d\rho_2/d\xi + \rho_2 d\mathbf{u}_2/d\xi = 0,$$

$$(\mathbf{u}_2 - \xi) \frac{d\mathbf{u}_2}{d\xi} + \frac{1}{\rho_2} \frac{dp}{d\xi} = 0, \quad (\mathbf{u}_2 - \xi) \frac{dp}{d\xi} + \frac{p}{\varepsilon} \frac{d\mathbf{u}_2}{d\xi} = 0.$$

Из первого и последнего уравнений (3.5) следует выражение квадрата скорости звука

$$(3.6) \quad dp/d\rho_2 = p/(\varepsilon\rho_2) = c_e^2.$$

Условием разрешимости системы (3.5) является связь массовой скорости и скорости звука

$$(3.7) \quad \mathbf{u}_2 = \xi \pm c_e.$$

Интерес в данном случае представляет решение (3.7)  $\mathbf{u}_2 = \xi - c_e$ . Подставляя его в первое уравнение (3.5), найдем

$$(3.8) \quad d\mathbf{u}_2/d\rho_2 = c_e/\rho_2.$$

Интегрируя уравнения (3.6) и (3.8) и учитывая соотношение  $\varepsilon = 1 - \rho_2/\rho_s$ , получим

$$(3.9) \quad c_e(\rho_2) = c_{e0}\varepsilon_0/\varepsilon, \\ \mathbf{u}_2(\rho_2) = c_{e0}\varepsilon_0 \ln \frac{(1-\varepsilon)\varepsilon_0}{(1-\varepsilon_0)\varepsilon}, \quad p_2 = p_{20}(1-\varepsilon)\varepsilon_0/(1-\varepsilon_0)\varepsilon$$

(индексом 0 отмечены параметры начального состояния). Подставляя выражения (3.9) в (3.7), запишем закон движения смеси в неявном виде

$$(3.10) \quad \xi = c_{e0}\varepsilon_0 \left( 1/\varepsilon + \ln \frac{\varepsilon_0(1-\varepsilon)}{\varepsilon(1-\varepsilon_0)} \right).$$

Наконец, зная  $\varepsilon = \varepsilon(\xi)$ , находим  $c_e(\xi)$ ,  $\mathbf{u}_2(\xi)$ . В точке  $\xi_0$ , где  $\mathbf{u}_2(\xi_0) = U_0$ , решение (3.9) сопрягается с постоянным течением, как в аналогичной задаче о расширении под поршнем идеального газа (см., например, [8]). Из (3.9) можно определить значения плотности или давления смеси, при которых впервые  $\mathbf{u}_2 = -c_e$ , т. е. реализуется сверхзвуковой режим истечения. Эти параметры выражаются через решение трансцендентного уравнения

$$(3.11) \quad \varepsilon_* \ln \frac{(1-\varepsilon_0)\varepsilon_*}{(1-\varepsilon_*)\varepsilon} = 1$$

в виде

$$\rho_2^* = \rho_s(1-\varepsilon_*), \quad p_2^* = p_{20}\varepsilon_0(1-\varepsilon_*)/\varepsilon_*(1-\varepsilon_0)$$

( $\varepsilon_*$  — критическая порозность). Отсюда при  $\varepsilon_0 = 0,7$   $\varepsilon_* = 0,88$ , следовательно,  $p_2/p_2^* = 3,12$ . Заметим, что в аналогичной задаче о течении политропного газа это отношение составит  $p_0/p_* = \left(\frac{\gamma+1}{2}\right)^{2\gamma/(\gamma-1)}$ . Полагая  $\gamma = 1/\varepsilon_0$ , при  $\varepsilon_0 = 0,7$  имеем  $p_0/p_* = 3,65$ . Сравнивая последнее значение с полученным ранее для засыпки, видим, что течение смеси незначительно отличается от аналогичного течения политропного газа, что вытекает из внешнего сходства (3.1) и модели газа с постоянным отношением теплоемкостей. Подчеркнем, что в описанных опытах отношение давлений, необходимое для сверхзвукового течения смеси, должно быть еще выше,



чем теоретическая оценка, поскольку поршень замедляется при взаимодействии с газом в верхнем отсеке. Данные, представленные на рис. 2, 3, получены при  $p_2/p_1 \leq 2$ , поэтому сверхзвуковой режим равновесного течения заведомо не достигался в наших опытах, что подтверждается и прямыми численными расчетами. Для объяснения результатов необходимо принять во внимание неравновесные явления.

4. Затухание звука. В уравнениях неравновесной модели положим

$$\mathbf{g} = 0, \rho_2 = \rho_0 + \tilde{\rho}, p = p_0 + \tilde{p}, \mathbf{u}_2 = \mathbf{u}_0 + \tilde{\mathbf{u}}$$

(индексом 0 обозначены постоянные величины, тильдой — параметры звуковых возмущений). Линеаризуя (2.5), (2.6) относительно величины с тильдой, получим в одномерном случае

$$(4.1) \quad \frac{\partial \tilde{\rho}}{\partial t} + \mathbf{u}_0 \frac{\partial \tilde{\rho}}{\partial x} + \rho_0 \frac{\partial \tilde{\mathbf{u}}}{\partial x} = 0, \\ \frac{\partial \tilde{\mathbf{u}}}{\partial t} + \mathbf{u}_0 \frac{\partial \tilde{\mathbf{u}}}{\partial x} + \frac{1}{\rho_0} \frac{\partial \tilde{p}}{\partial x} = 0, \quad \frac{\partial \tilde{p}}{\partial t} + \mathbf{u}_0 \frac{\partial \tilde{p}}{\partial x} + \frac{p_0}{\varepsilon_0} \frac{\partial \tilde{\mathbf{u}}}{\partial x} = D_0 \frac{\partial^2 \tilde{p}}{\partial x^2}.$$

Здесь, согласно (2.8),  $D_0 = p_0 d^2 / \mu f(\varepsilon_0)$ . Величина  $D_0$  для засыпок различного состава приведена в табл. 1. Для монохроматических возмущений, пропорциональных  $\exp(ikx - i\omega t)$ , из (4.1) вытекает

$$(4.2) \quad (\omega - k\mathbf{u}_0) \left[ \frac{p_0}{\rho_0 \varepsilon_0} k^2 - (\omega - k\mathbf{u}_0)(\omega - k\mathbf{u}_0 + iD_0 k^2) \right] = 0.$$

Зависимость  $\omega = \omega(k)$ , построенная по (4.2), имеет три ветви, одна из которых,  $\omega = k\mathbf{u}_0$ , соответствует возмущениям, распространяющимся со скоростью основного потока, а две другие

$$(4.3) \quad \omega = k \left( \mathbf{u}_0 \pm c_e \sqrt{1 - D_0^2 k^2 / c_e^2} \right) - iD_0 k^2$$

— звуковым возмущениям. Из (4.3) видно, что при действительных значениях волнового числа частота является комплексным параметром. Однако условия проведения экспериментов таковы, что действительным параметром следует считать  $\omega$ . Запишем вместо (4.3) исходное кубическое уравнение, не разрешенное относительно  $k$  (сомножитель в квадратных скобках в (4.2)):

$$(4.4) \quad i\mathbf{u}_0 D_0 k^3 + (c_e^2 - \mathbf{u}_0^2 - i\omega D_0) k^2 + 2\mathbf{u}_0 \omega k - \omega^2 = 0.$$

Положим в (4.4)  $\mathbf{u}_0 = 0$ , что отвечает звуковым возмущениям в покоящейся среде, и, разрешая его относительно  $k$ , получим

$$(4.5) \quad k = \pm \omega e^{i\varphi/2} / (c_e (1 + \operatorname{tg}^2 \varphi)^{1/4}),$$

где  $\varphi = \operatorname{arctg}(2D_0 \omega / c_e^2)$ . Считаем, что поршень колеблется по гармоническому закону с периодом  $T = 2L_1 / c_s$  ( $L_1$  — длина КНД,  $c_s$  — адиабатическая скорость звука в газе). Тогда, подставляя в (4.5)  $\omega = 2\pi / T$ , находим коэффициент затухания возмущений

$$(4.6) \quad \kappa = \operatorname{Im} k = \frac{\pi c_s}{L_1 c_e} \frac{\sin \varphi / 2}{(1 + \operatorname{tg}^2 \varphi)^{1/4}}.$$

Установлено, что функция  $\kappa = \kappa(\varphi)$  имеет максимум при  $\varphi = \pi/3$ , кроме того,  $\kappa(0) = \kappa(\pi/2) = 0$ . Следовательно, существует размер зерна засыпки, при котором затухание возмущений максимально. Размер определится из условия  $2D_0 \omega / c_e^2 = \operatorname{tg} \pi/3 = \sqrt{3}$  с учетом зависимости (2.8). В частности, для мелкодисперсной  $\gamma$ -окиси алюминия, по данным табл. 1, 2,  $\pi D_0 c_s / (L_1 c_e^2) \simeq 3,33$ . При этом  $\kappa = 34,5$ . Напротив, в цементе, где среднеквадратичный размер зерна  $d \simeq 7$  мкм и  $\varepsilon = 0,56$ ,  $D_0 \simeq 2,7 \cdot 10^{-3}$  м<sup>2</sup>/с и  $\kappa \simeq 0,84$ , что находится в разумном согласии с данными экспериментов. При этих параметрах реальная часть волнового числа



Ре  $k = k_0$  значительно превосходит по абсолютной величине  $\kappa$ . Положим в (4.4)  $k = k_0 + i\kappa$  и, считая отношение  $\kappa/k_0$  малым ( $|\kappa/k_0| \ll 1$ ), представим его решение при  $u_0 \neq 0$  в виде

$$k = -\frac{\omega(M_e \pm 1)}{c_e(1 - M_e^2)} \mp \frac{iD_0\omega^2}{2c_e^3(1 \pm M_e)^3},$$

$M_e = u_0/c_e$  — равновесное число Маха. Верхний знак отвечает возмущениям, распространяющимся против потока, нижний — по потоку. Для волн, движущихся от поршня в глубь засыпки,

$$(4.7) \quad \kappa = D_0\omega^2/2c_e^3(1 - M_e)^3.$$

Как видно из (4.7), с ростом  $M_e$  вплоть до единицы  $\kappa$  неограниченно возрастает, чем и объясняется поведение модулированных ВР в цементе (см. рис. 2). Действительно, по (3.9)  $M_e = \varepsilon \ln(p_2/p_1)$ . При  $p_2/p_1 = 2$  и  $\varepsilon = 0,56$  находим  $\varepsilon_* = 0,718$ ,  $M_e \simeq 0,5$ , а из (4.7) следует, что  $\kappa$  возрастает в 8 раз по сравнению с его значением при  $p_2 \simeq p_1$ .

Рассмотрим поведение волн давления в крупнодисперсной окиси алюминия. Скоростного напора газовой фазы при  $\Delta p \simeq 0,1$  МПа недостаточно для существенного изменения объема засыпки и ее перемещения. Поэтому положим в уравнениях неравновесной модели (2.5), (2.6)  $u_2 = 0$ ,  $\varepsilon = \text{const}$ . Тогда из (2.6) находим в одномерном случае уравнение, хорошо известное в теории фильтрации:

$$(4.8) \quad \partial p/\partial t = \partial(D_0\partial p/\partial x)/\partial x.$$

Для монохроматических возмущений малой амплитуды следует простое дисперсионное уравнение  $i\omega = D_0k^2$ . Разрешая его относительно  $k$ , разделяя действительную и мнимую части и учитывая выражение  $D_0$ , запишем коэффициент затухания возмущений

$$(4.9) \quad \kappa = \sqrt{\omega \mu f(\varepsilon_0)/(2p_0 d^2)}.$$

Это выражение выводится и непосредственно из (4.6) в пределе  $\varphi \rightarrow \pi/2$ . Вычисляя  $\kappa$  по табл. 1, 2, находим  $\kappa \simeq 2,61$ . Такое же значение имеет и действительная часть волнового вектора. Отсюда длина волны возмущений  $\lambda = 2\pi/k_0 \simeq 2,4$  м. Полученные результаты согласуются с данными рис. 3, из которых видно, что сдвиг фазы колебаний на расстоянии  $\Delta x = 0,18$  м не превышает 10 %, а  $\kappa$  изменяется от 4,7 до 2 для переднего и заднего фронтов соответственно.

Заметим, что фактически в опытах генерировались возмущения конечной амплитуды, взаимодействие которых с основным потоком и между собой является более сложным, чем в рассмотренном выше случае. Из сравнения кривых на рис. 2 и 3 следует, что в цементе возмущения не просто затухают, но и вносят вклад в амплитуду ВР, существенно уменьшая ее. Кроме того, из теории нелинейной фильтрации известно [9, 10], что в моделях типа (4.8) возмущения распространяются с конечной скоростью. Это не отражено в проведенном анализе и подлежит дальнейшему исследованию.

Авторы выражают благодарность М. И. Горбунову и О. В. Шапеевой за помощь, оказанную при выполнении натуральных и численных экспериментов.

#### ЛИТЕРАТУРА

1. Гельфанд Б. Е., Медведев С. П., Поленов А. Н. и др. Измерение скорости слабых возмущений в пористых средах насыщенной плотности // ПМТФ.— 1986.— № 1.
2. Ажищев Н. А., Антипин В. А., Борисов А. А., Самойлов В. А. Волны разрежения в свободных засыпках // ИФЖ.— 1986.— Т. 52, № 1.
3. Нигматулин Р. И. Динамика многофазных сред.— М.: Наука, 1987.— Ч. 1.
4. Гольдштик М. А. Процессы переноса в зернистом слое.— Новосибирск: ИТ СО АН СССР, 1984.

5. Богоявленский Д. Г. Гидродинамика и теплообмен в высокотемпературных ядерных реакторах с шаровыми телами. — М.: Атомиздат, 1979.
6. Carlson D. J., Hoglund R. F. Particle drag and heat transfer in rocket nozzle // AIAA J. — 1964. — V. 2, N 11.
7. Николаевский В. Н., Басниев К. С., Горбунов А. Г., Зотов Г. П. Механика насыщенных пористых сред. — М.: Недра, 1970.
8. Овсянников Л. В. Лекции по основам газовой динамики. — М.: Наука, 1981.
9. Баренблатт Г. И. О некоторых неустановившихся движениях жидкости и газа в пористых средах // ПММ. — 1952. — Т. 16, № 1.
10. Калашников А. С., Олейник О. А. Об уравнениях нестационарной фильтрации // Проблемы теории фильтрации и механика процессов повышения нефтеотдачи. — М.: Наука, 1987.

г. Новосибирск

Поступила 9/III 1989 г.,  
в окончательном варианте — 20/VI 1989 г.

УДК 532.546

Ю. А. Буевич, В. А. Устинов

### ТЕПЛОМАССОПЕРЕНОС К ЧАСТИЦАМ ПРИ БЕЗОТРЫВНОМ СТРУЙНОМ ОБТЕКАНИИ И ВНУТРЕННИЙ ОБМЕН В ЗЕРНИСТОМ СЛОЕ

Конвективный перенос тепла или массы в условиях струйного обтекания представляет интерес в связи с проблемами охлаждения твердых поверхностей, организацией ряда массообменных процессов в аппаратах химической технологии и т. п. Кроме того, модель безотрывного обтекания частиц осесимметричными струями с успехом привлекается в последнее время для объяснения закономерностей переноса тепла и массы к частицам неподвижных зернистых слоев, важного для широкого круга приложений [1, 2].

Перенос к частицам, обтекаемым струями, неоднократно исследовали экспериментально и теоретически [3—8]. Количество исследований межфазного обмена в зернистых слоях исключительно велико (см., например, библиографию в [2]). Тем не менее до сих пор нет полной ясности о характере зависимости соответствующего параметра Шервуда  $Sh$  (или Нуссельта) от числа Рейнольдса  $Re$ . Корреляция экспериментальных данных приводит обычно к степенным критериальным зависимостям с существенно разными показателями степени, причем расхождение между соответствующими эмпирическими формулами достигает порядка и выше.

В этой работе проблема рассмотрена при больших числах Шмидта  $Sc$  (или Прандтля) для сферических частиц, безотрывно обтекаемых ламинарной осесимметричной струей. Показано, что зависимость  $Sh(Re)$  в широком интервале изменения  $Re$  не может быть аппроксимирована простой степенной функцией.

1. Рассматриваем обтекание сферы радиуса  $a$  цилиндрической струей несжимаемой жидкости радиуса  $r_0$ , имеющей скорость  $u_0$ ; схема течения и вводимые координаты представлены на рис. 1. Течение у поверхности сферы состоит из трех зон: области пленочного течения при  $\theta_0 < \theta < \theta_*$  и областей вблизи застойных точек  $\theta = 0$  и  $\theta = \pi$ .

Характеристики ламинарного пограничного слоя, формирующегося в лобовой области, в принципе могут быть найдены при помощи метода Фресслинга [9], если в качестве соответствующего внешнего асимптотического разложения использовать решение задачи об обтекании сферы струей идеальной жидкости. В любом случае в непосредственной окрестности передней критической точки допустимо использовать формулу

$$(1.1) \quad u_s = \frac{3}{2} \alpha \left( \frac{3 Re}{2} \right)^{1/2} u_0 \theta \frac{y}{a} \approx \frac{3}{2} \alpha \left( \frac{3 Re}{2} \right)^{1/2} u_0 \sin \theta \frac{y}{a}, \quad Re = \frac{2au_0}{\nu},$$

для скорости вблизи твердой поверхности, где  $\nu$  — кинематическая вязкость;  $\alpha$  — числовой коэффициент, равный 0,9277 при обтекании сферы неограниченным однородным потоком. В первом приближении это же значение  $\alpha$  можно использовать и для струйного обтекания, что подтверждается установленной на опыте независимостью потока тепла или массы к лобовой точке от диаметра набегающей струи [8].